

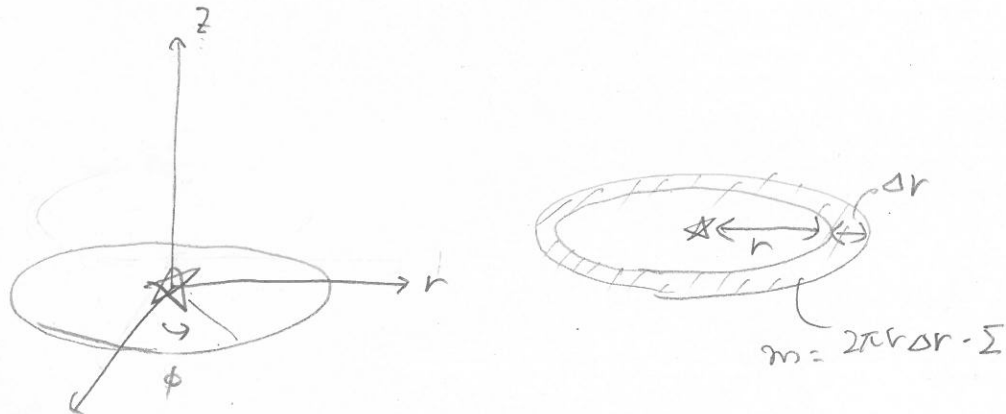
2017. 4. 17 Mon.

### 3 Protoplanetary disk evolution

#### 3.2 Surface density evolution of a thin disk

- Local 角運動量の保存 から、円盤進化・降着は起らる。  
→ 円盤の進化には角運動量の輸送が重要  
粘性摩擦による角運動量の角分配 ( $\Leftrightarrow$  loss due to outflow)  
→ 面密度  $\Sigma(r, \phi)$  の進化  
 $\Sigma(r, \phi)$  の進化を考える。

軸対称で、幾何学的に薄い円盤を円筒座標系で考え  
( $h/r \ll 1$ )



##### ○ 質量保存 (連続の式)

半径  $r$ 、幅  $\Delta r$  のリングの質量の時間変化

$$\frac{\partial}{\partial t} (2\pi r \Delta r \Sigma) = 2\pi r \Sigma(r) v_r(r) - 2\pi (r + \Delta r) \Sigma(r + \Delta r) v_r(r + \Delta r)$$

$v_r > 0$   
 $\gamma = \eta r = \lambda \approx 2 \times 3 \text{ mas/s}$        $\in 2 \times 5 \text{ mas/s}$   
 $\cdots (3.2)$

$$\frac{\partial}{\partial t} (r \Sigma) = - \frac{(r + \Delta r) \Sigma(r + \Delta r) v_r(r + \Delta r) - r \Sigma(r) v_r(r)}{\Delta r}$$

$\Delta r \rightarrow 0$  の極限をとる。

$$\frac{\partial}{\partial t} (r\Sigma) = - \frac{2}{\partial r} (r\Sigma v_r)$$

$$\therefore \underbrace{r \frac{\partial \Sigma}{\partial t} + \frac{\partial}{\partial r} (r\Sigma v_r)}_{} = 0 \quad (3.3)$$

## ○ 角運動量 保存

$$\frac{dL}{dt} = \tau \quad L: \text{角運動量} \\ \tau: \text{トルク} (\text{IF} \times \text{Ir})$$

先ほどの同じように、リンクを考へる。

$$L = \underbrace{2\pi r a r\Sigma}_m \cdot \underbrace{r}_r \cdot \underbrace{v_\infty}_v$$

$v_\infty$ : 角速度

心力 (単位面積あたりに働く面積力)

粘性流体において、以下のようになりえられる。

$$\sigma_{ij} = -P \delta_{ij} + 2\eta (e_{ij} - \frac{1}{3} e_{kk} \delta_{ij})$$

$$e_{ij} = \frac{1}{2} \left( \frac{\partial u_i}{\partial x_j} + \frac{\partial u_j}{\partial x_i} \right)$$

P: 壓力、 $\eta$ : 粘性係数

↑方向に垂直な面の中方向に働く応力  $\sigma_{rp}$  は、

$$\sigma_{rp} = \eta \left( \frac{1}{r} \frac{\partial v_r}{\partial \phi} + \frac{\partial v_p}{\partial r} - \frac{v_p}{r} \right)$$

$$= \eta r \frac{\partial}{\partial r} \left( \frac{v_p}{r} \right)$$

$$= \rho \nu r \frac{\partial v_p}{\partial r}$$

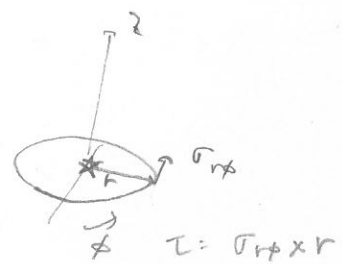
$\nu$ : 動粘性係数 (kinetic viscosity)

$\rho$ : 密度  
質量

$\sigma_{rp}$  は単位面積あたりの力

半径  $r$  の、半径トルクは

$$G(r, t) = 2\pi r \int_{-L}^L r \sigma_{rp} dz = 2\pi r \cdot r \cdot \sum \nu r \frac{\partial v_p}{\partial r}$$



$$\tau = \sigma_{rp} \times r$$

「イング」を考へて「 $\psi$ 」の $\psi$ 。トルクも差分を取る

$$\frac{dL}{dt} = G(r+dr, t) - G(r, t)$$

ラグランジの微分をオイラーの微分に書き換え  
平行 → 場的

$L = \frac{1}{2} m r^2 \dot{\theta}^2 + m r \dot{\theta} \dot{r}$   
 $L = \frac{1}{2} m r^2 \dot{\theta}^2 + m r \dot{r}^2 + m r \dot{r} \dot{\theta}$

$$\frac{dL}{dt} = \frac{\partial L}{\partial t} + \nabla \cdot \nabla L$$

$$\therefore \frac{\partial L}{\partial t} + \nabla \cdot \nabla L = G(r+dr, t) - G(r, t)$$

$\nabla \cdot \nabla L$  の項について

$$\text{令 } \mathbf{v} = (v_r, v_{\theta}, v_z)$$

$$\nabla = \left( \frac{\partial}{\partial r}, \frac{1}{r} \frac{\partial}{\partial \theta}, \frac{\partial}{\partial z} \right)$$

$$\therefore \nabla \cdot \nabla L = v_r \frac{\partial L}{\partial r}$$

→ 「 $\psi$ 」は流入（流出）するトルクを表す

$$\begin{aligned} \nabla \cdot \nabla L &= 2\pi(r+dr)^3 v_r(r+dr) \sum (r+dr) \omega(r+dr) \\ &\quad - 2\pi r^3 v_r(r) \sum (r) \omega(r) \end{aligned}$$

F. 2.

$$\begin{aligned} \frac{\partial}{\partial t} (2\pi r \omega r \sum r \cdot r \omega) + 2\pi(r+dr)^3 v_r(r+dr) \sum (r+dr) \omega(r+dr) \\ - 2\pi r^3 v_r(r) \sum (r) \omega(r) = G(r+dr, t) - G(r, t) \end{aligned}$$

両辺、 $\nabla \cdot \nabla L$  を割り、 $\lim_{dr \rightarrow 0}$  とする。

$$r \frac{\partial}{\partial t} (r^2 \omega \sum) + \frac{\partial}{\partial r} (r^2 \omega \cdot r \sum v_r) = \frac{1}{2\pi} \frac{\partial G}{\partial r} \quad (3.4)$$

$$G = 2\pi r \cdot v \int r \frac{d\omega}{dr} r$$

○  $\Sigma(r, t)$  の進化

(3.3)、(3.4) 式より  $v_r$  を消す。

(3.4) 式:

$$r^3 \frac{\partial \Sigma}{\partial t} + r \Sigma v_r \frac{\partial}{\partial r} (r^2 u_r) + r^2 u_r \frac{\partial}{\partial r} (r \Sigma v_r) = \frac{\partial}{\partial r} \left\{ r^3 \Sigma \frac{\partial u_r}{\partial r} \right\}$$

$$= -r \frac{\partial \Sigma}{\partial t} \quad (\because (3.3))$$

$$\therefore r \Sigma v_r = \left[ \frac{1}{\frac{\partial}{\partial r} (r^2 u_r)} \frac{\partial}{\partial r} \right] r^3 \Sigma \frac{\partial u_r}{\partial r}$$

(3.3) 式:

$$\frac{\partial \Sigma}{\partial t} = -\frac{1}{r} \frac{\partial}{\partial r} (r \Sigma v_r)$$

$$= -\frac{1}{r} \frac{\partial}{\partial r} \left[ \frac{1}{\frac{\partial}{\partial r} (r^2 u_r)} \frac{\partial}{\partial r} \right] r^3 \Sigma \frac{\partial u_r}{\partial r}$$

Kepler 回転  $u_r \propto r^{-\frac{3}{2}}$  とき、 $\frac{\partial u_r}{\partial r} = -\frac{3}{2} r^{-\frac{5}{2}}$

$$\frac{\partial}{\partial r} (r^2 u_r) = \frac{\partial}{\partial r} r^{\frac{1}{2}} = \frac{1}{2} r^{-\frac{1}{2}}$$

より、

$$\frac{\partial \Sigma}{\partial t} = -\frac{1}{r} \frac{\partial}{\partial r} \left[ 2r^{\frac{1}{2}} \cdot \frac{\partial}{\partial r} \left( -\frac{3}{2} r^{-\frac{5}{2}} \right) \right]$$

$$= \frac{3}{r} \frac{\partial}{\partial r} \left[ r^{\frac{1}{2}} \frac{\partial}{\partial r} (r^{-\frac{5}{2}}) \right] \quad (3.6)$$

拡散偏微分方程式

diffusive partial differential equation.

### 3.2.1 The viscous time scale

(3.6) を F' わかりやすくす。

変数変換

$$X \equiv 2 r^{1/2} \quad (3.7)$$

$$f \equiv \frac{3}{2} \sum X \quad (3.8)$$

$$v = \text{const} \quad \text{を仮定}$$

$$\frac{\partial}{\partial r} = r^{-\frac{1}{2}} \frac{\partial}{\partial X} \quad \text{F'}$$

(3.6) 右辺 12.

$$\begin{aligned} & v \cdot \frac{3}{r} \cdot r^{-\frac{1}{2}} \frac{\partial}{\partial X} \left[ r^{\frac{1}{2}} \cdot r^{-\frac{1}{2}} \frac{\partial}{\partial X} \left( \frac{1}{2} \sum X \right) \right] \\ &= \frac{v}{r^{\frac{3}{2}}} \frac{\partial^2}{\partial X^2} \left( \frac{3}{2} \sum X \right) \\ &= \frac{8v}{X^3} \frac{\partial^2 f}{\partial X^2} \end{aligned}$$

$$\text{左辺, } \frac{\partial \sum}{\partial t} = \frac{2}{3} \frac{1}{X} \frac{\partial f}{\partial t}$$

$$\text{したがって } \frac{\partial f}{\partial t} = D \frac{\partial^2 f}{\partial X^2} \quad (3.9)$$

拡散方程式

$$D = \frac{12v}{X^2} : \text{拡散係数}$$

1次元拡散方程式

$$\frac{\partial C}{\partial t} = k \frac{\partial^2 C}{\partial X^2}$$

$$k = \frac{(DX)^2}{2at}$$

△t 間に走る△X

拡散距離

$k = \text{拡散の厚さ} \times \frac{\text{走行時間}}{\text{走行距離}}$

$\sum(r, t)$  の進化は、拡散方程式の形で表される。

○ time scale  $\tau_0$

スケール  $\frac{(\Delta r)}{\Delta x}$  にわたる 扩散のタイムスケール

$$\tau_0 = \frac{6x^2}{D} = \frac{(\Delta x)^4}{12v} = \frac{16(\Delta r)^2}{12v} \sim \frac{(\Delta r)^2}{v}$$

円盤のサイズをとると、全体にわたる  $\Sigma$  の進化  
タイムスケールは、

$$\tau_0 \approx \frac{r^2}{v}$$

viscous time scale

銀河から測れる。

長周期型星周囲の円盤で  $10^6$  yr 程度

accretion decay

vF

stellar age

### 3.2.2 Solutions to the disk evolution equation

円盤進化の式の、定常状態  $\omega$  の解を求める。

定常状態 ...  $\frac{\partial}{\partial t} = 0$

( $\hookrightarrow$ ) 定常状態  $\omega$  の  $\Sigma(r)$  の profile

$\omega = \omega_{\text{kep}}$  を仮定する。

(3.4) より

$$\frac{\partial}{\partial r} (2\pi r \Sigma v_r \cdot r^2 \omega) = \frac{\partial G}{\partial r}$$

$$\therefore 2\pi r \Sigma v_r \cdot r^2 \omega = 2\pi r^3 v \Sigma \frac{d\omega}{dr} + \text{const} \quad (3.14)$$

降着率  $\dot{M} = -2\pi r \Sigma v_r \omega$  とする。

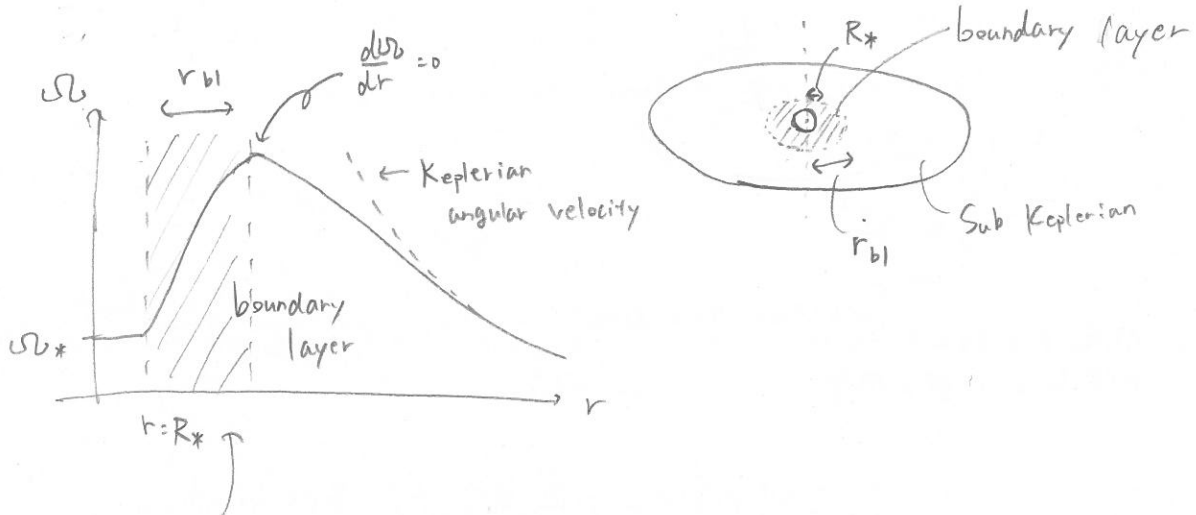
$$-\dot{M} \cdot r^2 \omega = 2\pi r^3 v \Sigma \frac{d\omega}{dr} + \text{const} \quad (3.14)$$

積分定数を決めるために、ある場所で 粘性摩擦  $\propto \omega$  なし、

$\frac{d\omega}{dr} = 0$  となるところ、積分定数は 角運動量 フラックス  $\propto \omega$  となる。

$$\text{const} = -\dot{M} \cdot r^2 \omega$$

単純な場合として、円盤から中心星の表面まで広がる場合。  
場合を分ける。



星の表面から円盤まで、流れ連続

・ 中心星  $r \leq R_*$

$\omega_r = 0$ 、すなはち十分遙く回転

・ boundary layer  $R_* < r \leq r_{bl}$  (sub-Keplerian)

viscous stress が消えず、星と Keplerian との円盤との境界層  
角運動量は半径と共に増加

・ 円盤  $r > r_{bl}$

粘性摩擦がなければ、Keplerian を回転とする。

つまり、半径小さい方が角運動量が大きい（回転加速）。

粘性摩擦で角運動量を外へ輸送しない限り、

中心へ落ちていく。

o boundary layer

boundary layer の物理 ( hydrodynamics + magneto-hydrodynamics )

も accretion flow の構造は複雑でよくわからぬらしい。

しかし、簡単の場合は、星に対して扁平円盤模型を採用して提唱された。

磁場と粘性が無視できることで、軸対称場合の運動方程式は、

$$\frac{v_{\text{gas}}^2}{r} = \frac{GM_*}{r^2} + \frac{1}{\rho} \frac{dP}{dr} + v_r \frac{dv_r}{dr} \quad (3.16)$$

$P$ : 圧力、 $\rho$ : 密度、 $M_*$ : 中心星質量

圧力が重力に合つてゐる。

$$\frac{1}{\rho} \frac{dP}{dr} \sim \frac{c_s^2}{r_{\text{bl}}} \sim \omega_k^2 r \quad (3.17)$$

$c_s$ : 音速

$\omega_k$ : ハーフラ-角速度

$$\text{スケール八引} h = \frac{c_s}{\omega_k} \text{ と},$$

$$\frac{r_{\text{bl}}}{r} \sim \left( \frac{h}{r} \right)^2 \quad (3.18)$$

boundary layer ( disk ) は幾何的に薄い。

$$h/r \ll 1, \rightarrow (r_{\text{bl}}/r) \ll 1$$

したがって boundary layer は十分に薄い。

式 (3.14) は 底

(3.14) の

$R_* + r_{\text{in}} \approx R_*$  と考えられる<sup>v</sup>。積分定数は、

$$\text{const} \approx -\dot{M} R_*^2 \sqrt{\frac{GM_*}{R_*^3}} \quad (3.19)$$

と<sup>v</sup>是る。よって (3.14) は

$$2\pi r^3 v \sum \frac{d\Omega}{dr} = -\dot{M} \cdot r^2 \Omega - \dot{M} R_*^2 \sqrt{\frac{GM_*}{R_*^3}}$$

と書けよ。

$$\Omega = \sqrt{\frac{GM_*}{r^3}} \quad (= \Omega_{\text{kep}})$$

と<sup>v</sup>は

$$\frac{d\Omega}{dr} = -\frac{3}{2} \sqrt{\frac{GM_*}{r^5}}$$

$$r^2 \sqrt{\frac{GM_*}{r^3}} = \sqrt{GM_* r}$$

$$-3\pi v \sum \sqrt{GM_* r} = -\dot{M} \cdot r^2 \Omega - \dot{M} R_*^2 \sqrt{\frac{GM_*}{R_*^3}}$$

$$\therefore v \sum = \frac{\dot{M}}{3\pi} \left( 1 - \sqrt{\frac{R_*}{r}} \right) \quad (3.20)$$

• viscosity が決まれば、 $\dot{M} = \text{const}$  の円盤の  $\Sigma$  profile が得られる。

•  $\Sigma(r) \propto v^{-1}$

○ (3.20) 式 は 何を?

(3.20) は、円盤の inner edge でトルクがなくなる、という境界条件の下での解。

中心星の表面まで広がる円盤に対して、近似的には正しい。

$\Leftrightarrow$  一方で、classical T Tauri stars では、中心星の周囲場は、  
よって円盤が中心星表面に届くまでにそれがモード一般的

(3.20)  $\Sigma \Omega r = R_\star$  の境に  $\Sigma$  の profile  $\rho(r)$  逆転する (魚の口).

→ これは Keplerian flow では、トルクを 0 にするため.

$\Sigma \rho(r) \propto$  なる必要があることを示す.